

УДК 669.1 : 622.785

А. М. ЖИЛКАШИНОВА¹, М. К. СКАКОВ², Э. В. КОЗЛОВ³, Н. А. ПОПОВА³

ИССЛЕДОВАНИЕ ВЛИЯНИЯ С И Mn НА СТРУКТУРНО-ФАЗОВОЕ СОСТОЯНИЕ МАТРИЦЫ ЗАКАЛЕННОЙ СТАЛИ 110Г13Л

Приведены результаты экспериментальных исследований структурно-фазового состояния высокомарганцовистой стали Гад菲尔да 110Г13Л, с различным содержанием Mn и C. Установлено, что в сплавах Fe – Mn – C с содержанием ~1 вес.% C, матрица, независимо от содержания в ней Mn, является полностью аустенитной, а в сплавах, с содержанием 0.4-0.5 вес.% C, матрица, содержащая ~6 вес.% Mn, содержит наряду аустенитом (γ -фазой) α - и ε -мартенсит.

Введение. Известно [1-3], что в зависимости от содержания C и Mn в сплавах Fe–Mn–C уже после закалки (в исходном состоянии) наряду с γ -фазой (аустенитом) могут присутствовать α - или ε -мартенситные фазы, или обе фазы одновременно. Высокомарганцовистую сталь Гад菲尔да (110Г13Л) разделяют на две группы, первая – это сплавы, содержание углерода в которых 1 – 1.2 вес.%, во второй – содержание углерода 0.4 – 0.5 вес.%. Концентрация Mn в каждой группе изменяется в пределах 6 – 18 вес.%. Кроме того, каждую группу исследуемых сплавов разделяют еще на две подгруппы: а) сплавы, не содержащие карбидообразующие элементы, и б) сплавы, содержащие такие элементы, как Cr и V [4, 5].

Поэтому детальное изучение влияния содержания Mn и C на структурно-фазовое состояние стали является важной задачей. Наряду с этим, стабильность и превращения аустенита в физике металлов и сплавов всегда были актуальной проблемой [6, 7].

Материал и методика эксперимента

В качестве материала исследования использовали высокомарганцовистую сталь Гад菲尔да 110Г13Л (Mn – 11%; C – 1,3%; Si – 0,3%; S – 0,12%, Fe – остальное, вес.%). Образцы сплавов были изготовлены размером 16x22x0,5мм³ с различным содержанием C (0,4%, 1 вес.%) и Mn (6% ÷ 18,2вес.%).

Термический нагрев под закалку производили при температуре 1050°C в течение 30 минут в лабораторных трубчатых электропечах типа СУОЛ-0,4/4/12-М2-У4.2 в вакууме, с остаточным давлением не более 1 Па. Состояние образцов фиксировали закалкой в воду при комнатной температуре. Температура измерялась и регулировалась прецизионным регулятором температуры ВРТ-2 с помощью двух термопар типа ТПП 1378.

Структурные исследования проводились методами электронной дифракционной микроскопии и рентгеноструктурного анализа. Электронно-микроскопические исследования проведены на электронном микроскопе ЭМВ-100Б с использованием гониометрической приставки при ускоряющем напряжении 100 кВ и рабочем увеличении в колонне микроскопа 12000 – 25000 крат. Съемки рентгенограмм для определения состояния твердого раствора проводились на дифрактометре ДРОН-3 в монохроматизированном Fe K_α-излучении с автоматической записью на ленту.

Образцы для электронно-микроскопических и рентгеноструктурных исследований утонялись в смеси перекиси водорода в ортофосфорной кислоте при температуре 800°C, а затем подвергались электрополировке в пересыщенном растворе хромового ангидрида в ортофосфорной кислоте при температуре 600°C и плотности тока 2 А/см².

Результаты исследования и их обсуждение

Состав любой стали, как правило, представляет собой матрицу сплава и вторичные фазы. Матрицей сплавов Fe-Mn-C (110Г13Л) является твердый раствор на основе γ -Fe – аустенит, а также α - и ε -мартенсит, образующиеся в результате закалки при $\gamma \rightarrow \alpha$ превращении. Вторичными фазами являются карбиды и неметаллические включения. Рассмотрим отдельно влияние концентрации Mn и C на фазовый состав матрицы и вторичных фаз в процессе закалки исследуемых в настоящей работе сплавов.

Проведенные экспериментальные исследования показали, что в сплавах, относящихся к первой группе (~1 вес.% C), матрица сплавов, независимо от содержания в них Mn, является полностью аустенитной. Данные объемных долей фаз, полученные методом рентгеноструктурного анализа, приведены на рис. 1, а.

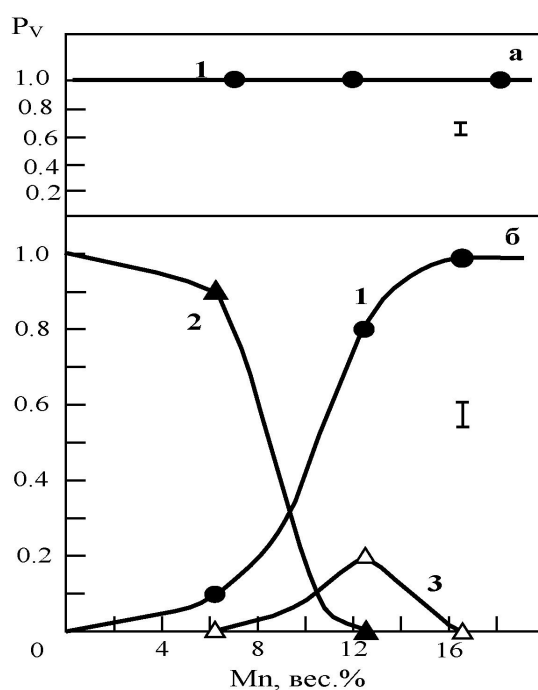


Рис. 1. Влияние содержания Mn на объемную долю γ - (1), α - (2) и ϵ - (3) фаз в сплавах Fe-Mn-C при различной концентрации углерода: а – 1 вес.% С; б – 0.4 вес.% С

Видно, что доля γ -фазы невелика, и не превышает 10% от общего объема матрицы сплава (рис. 1, б, кр. 1). Повышение содержания Mn до ~12 вес.% привело к тому, что доля γ -фазы возросла до 80% (рис. 1, б, кр. 1). Рефлексы, относящиеся к α -фазе при содержании Mn в количестве ~12 вес.%, на рентгенограмме отсутствуют. Участок рентгенограммы закаленного сплава

Fe-Mn-C, содержащий рефлекс $(111)\gamma$, приведен на рис. 2, а.

Вместе с тем, на рентгенограмме присутствуют рефлексы, указывающие на наличие в сплаве

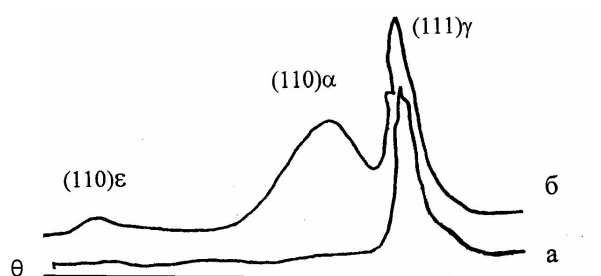


Рис. 2. Фрагмент дифрактограммы закаленного сплава Fe-Mn-C: а - (~1 вес.% С, 12 вес.% Mn) содержащий рефлекс γ -фазы; б - (~0.4 вес.% С, 6 вес.% Mn), содержащий рефлексы $(111)\gamma$ -фазы, $(110)\alpha$ -фазы и $(110)\epsilon$ -фазы

ϵ -фазы, обладающей ГПУ-кристаллической решеткой. Объемная доля ϵ -фазы при содержании Mn ~12 вес.% составляет ~20% (рис. 1, б, кр. 3). Дальнейшее увеличение содержания Mn (~16 вес.%) привело к полной аустенитации матрицы стали (см. рис. 1, б).

Иная картина наблюдается в сплавах, содержащих 0.4-0.5 вес.% С. Матрица сплава, содержащего ~6 вес.% Mn, представлена в основном α -фазой, или α -мартенситом. Участок рентгенограммы закаленного сплава Fe-Mn-C подтверждающий присутствие α - и ϵ -мартенситных фаз, приведен на рис. 2, б.

Изменение объемных долей фаз по данным рентгеноструктурного анализа приведено на рис. 1, б. Как известно, α -мартенсит имеет ОЦК-решетку и представляет собой твердый раствор на основе железа атомов внедрения (С, N и др.) и замещения (Cr, V, Mn и др.) одновременно.

Изменение концентрации С и Mn влияет на величину параметра кристаллической решетки γ -фазы. Для закаленных сплавов системы Fe-Mn-C эта зависимость выражается формулой [7, 8]:

$$a_{\gamma} = 0.3578 + 0.000645 x_C + 0.00005 x_{Mn}, \quad (1)$$

где a_{γ} – параметр кристаллической решетки аустенита (нм); x_C и x_{Mn} – концентрация (ат.%) углерода и марганца соответственно. Рассчитанные согласно формуле (1) зависимости параметра кристаллической решетки аустенита от концентрации Mn для двух концентраций углерода (1 вес.% и 0.4 вес.%) приведены на рис. 3 в виде

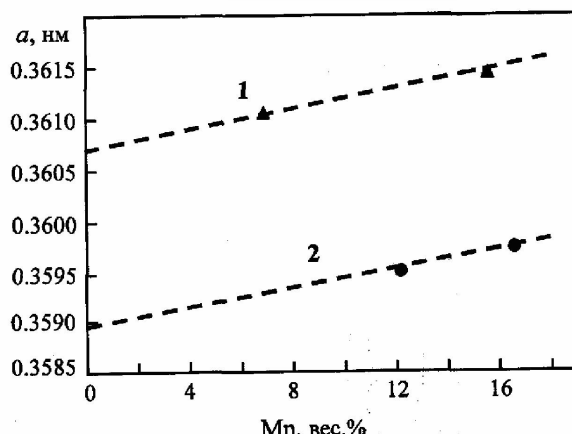


Рис. 3. Изменение параметра кристаллической решетки аустенита (a_{γ}) в зависимости от концентрации Mn в сплавах Fe-Mn-C с различным содержанием углерода: 1 – ~1 вес.% С; 2 – ~0.4 вес.% С. (---- – расчетные значения, ▲ –, ● – экспериментальные значения)

пунктирных линий. Здесь же приведены экспериментально полученные значения a_{γ} исследованных в работе сплавов.

Видно, что теоретически рассчитанные по формуле (1) и экспериментально полученные значения (a_{γ}) хорошо совпадают. Это совпадение указывает, что сплав был хорошо приготовлен и отвечает заданным свойствам.

Проведенные исследования с помощью электронной просвечивающей микроскопии подтвердили данные, полученные методом рентгеноструктурного анализа. В сплавах с содержанием углерода ~ 1 вес.%, матрица является полностью

аустенитной. Примеры дислокационной структуры для сплавов, относящихся к первой группе, представлены на рис. 4, I. Из микрофотографий видно, что дефектная структура представлена, в основном, хаотически расположенными дислокациями. В сплавах с содержанием С ~ 0.4 вес.%, присутствуют наряду с аустенитом (γ -фазой) α - и ϵ -мартенсит. При этом объемная доля γ -фазы возрастает по мере увеличения содержания Mn. Дефектная структура γ -фазы представлена, также как и в сплавах первой группы, хаотически расположенными дислокациями (см. рис. 4, II).

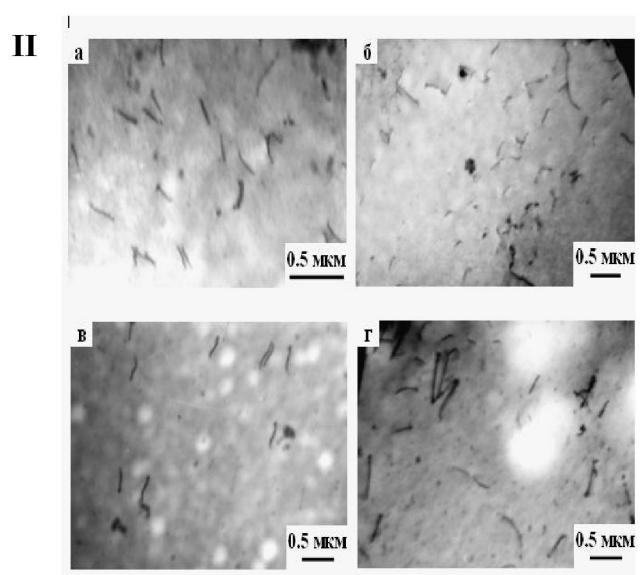
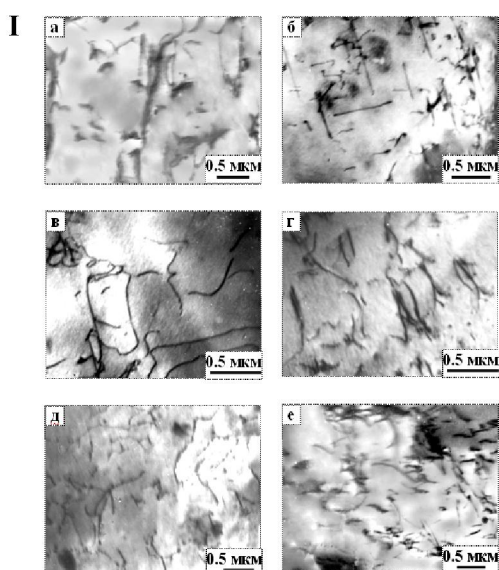


Рис. 4. Дислокационная структура закаленных сплавов с содержанием I – С ~ 1 вес.%, Mn: а, б – 6.9 вес.%; в, г – 12 вес.%; д, е – 18.2 вес.%. II – С ~ 0.4 вес.%, Mn: а, б – 12.2 вес.%; в, г – 16.6 вес.%

В сплавах с содержанием С ~ 1 вес.%, в отдельных местах удается наблюдать образование длинных дислокаций (рис. 5), вытянутых вдоль направлений $<110>$, параллельных следам пересечений плоскостей [111] α с поверхностью фольги.

Это свидетельствует о том, что сплав имеет достаточно низкую энергию дефектов упаковки и дислокации расщеплены на частичные. И поэтому дислокациям энергетически выгодно располагаться вдоль указанных направлений. Это – либо винтовые дислокации, либо 60-градусные.

В сплавах с содержанием С ~ 0.4 вес.%, также присутствуют длинные дислокации (рис. 6).

И длинные дислокации, и дислокационные скопления, как и в сплавах первой группы, вытянуты вдоль направлений $<110>$. Отметим, что и

дислокационные скопления, и дефекты упаковки присутствуют только в сплаве, содержащем 16.6 вес.% Mn, причем довольно значительном количестве.

Выводы

Таким образом, проведенные исследования изменений структурно-фазового состояния матрицы стали 110Г13Л в зависимости от различного содержания Mn и С показали, что

- в сталях, с содержанием ~ 1 вес.% С, матрица независимо от содержания в них Mn, является полностью аустенитной;

- в сталях, с содержанием 0.4-0.5 вес.% С, матрица, содержащая ~ 6 вес.% Mn, содержит наряду с аустенитом (γ -фазой) α - и ϵ -мартенсит;

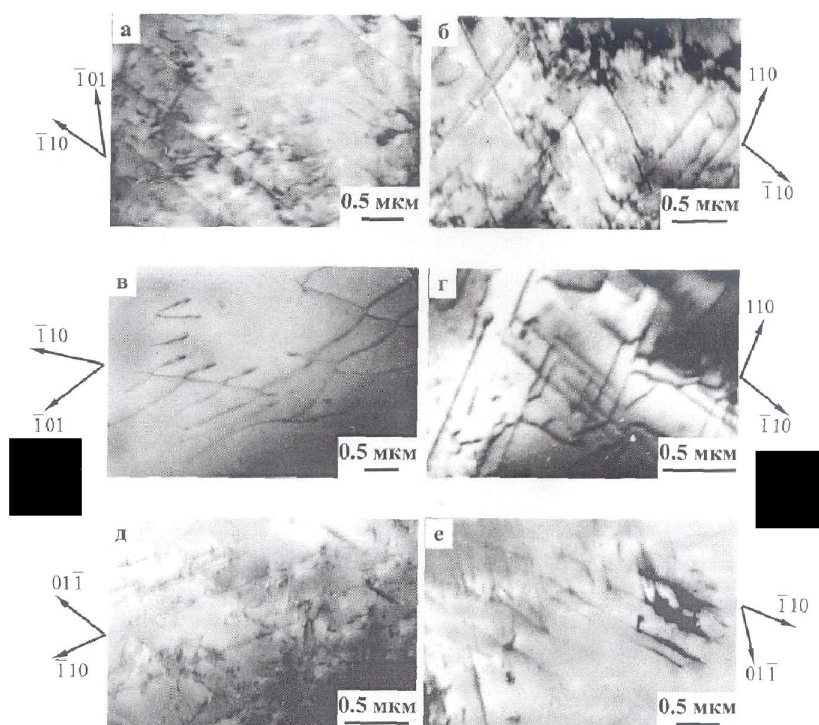


Рис. 5. Длинные дислокации, вытянутые вдоль направлений $\langle 110 \rangle$, в закаленных сплавах, относящихся к первой группе (~ 1 вес.%С), при содержаниях Mn: а, б – 6.9 вес.%; в, г – 12 вес.%; д, е – 18.2 вес.%

- параметр кристаллической решетки аустенита (a_{γ}) возрастает с увеличением содержания Mn;
- тонкая структура сплавов с содержанием ~ 1 вес.% С, представлена в основном винтовыми дислокациями или 60-градусными, вытянутыми вдоль направлений $\langle 110 \rangle$. Сплавы с содержанием ~ 0.4 вес.% С также содержат длинные

дислокации, и дислокационные скопления, как и в сплавах первой группы, вытянутые вдоль направлений $\langle 110 \rangle$.

ЛИТЕРАТУРА

- Филиппов М.А., Литвинов В.С., Немировский Ю.Р. Стали с метастабильным аустенитом. М.: Металлургия, 1988. 257 с.
- Зельдович В.И. Три механизма образования аустенита и структурная наследственность в сплавах железа // Развитие идей академика В.Д. Садовского. Екатеринбург, 2008. С. 84-98.
- Новомейский Ю.Д., Глазков В.М. Высокомарганцевая аустенитная сталь Г13Л. Вопросы износостойкости / Под ред. К. В. Савицкого. М.: Металлургия, 1969. 100 с.
- Волынова Т.Ф. Высокомарганцевые стали и сплавы. М.: Металлургия, 1988. 343 с.
- Астафурова Е.Г., Тукеева М.С., Чумляков Ю.И. Влияние легирования алюминием на прочностные свойства и механизм деформации $\langle 123 \rangle$ монокристаллов стали Гад菲尔да // Известия вуз. Физика. 2007. № 10. 3-7 с.
- Коновалова Е.В., Конева Н.А., Перевалова О.Б., Козлов Э.В. Структура зернограницочного ансамбля ГЦК однофазных поликристаллов // Физическая мезомеханика. 2000. Т. 3, № 3. С. 15-22.
- Лысак Л.И., Николин Б.И. Физические основы термической обработки стали. Киев: Техника, 1975. 304 с.
- Курдюмов Г.В., Утевский Л.М., Энтин Р.И. Превращения в железе и стали. М.: Наука, 1977. 236 с.
- Иванов Ю.Ф. Влияние размера зерна исходного аустенита на структуру пакетного мартенсита сталей и сплавов железа // Изв. вузов. Физика. 1995. № 12. С. 33-38.

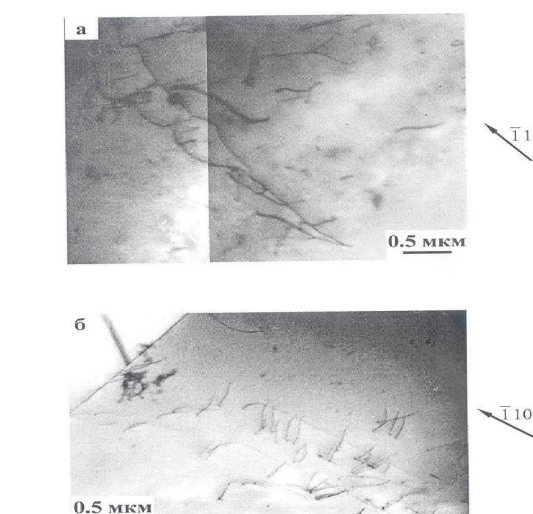


Рис. 6. Длинные дислокации, вытянутые вдоль направлений $\langle 110 \rangle$, в закаленных сплавах, относящихся ко второй группе (~ 0.4 вес.%С), при различных содержаниях Mn: а – 12.2 вес.%; б – 16.6 вес.%

Резюме

110Г13Л жөнеги марганецты болаттың әртүрлі Mn және С мөлшеріне қарай құрылым-фазалық құйінің эксперименттік нәтижелері көлтірілген. 1 сал.% С бар Fe-Mn-C қорытпаның матрицасында Mn мөлшеріне қарамай аустенитті екені, құрамында 0,4–0,5 сал.% С ал ~6 сал.% Mn болғанда матрицасы аустенитпен қоса (g-фаза) ажәне ε-мартенситтен тұратыны анықталды.

Summary

This clause contains results of experimental researches of structural-phases condition of manganous Gadfield's steel, with different maintenance of Mn and C. It is realy that matrix is austen completely in alloy of Fe – Mn – C, it is independently on maintenance of manganese, and matrix which contains ~6 % Mn also contains β- and ε- marten except g-phase.

¹Восточно-Казахстанский государственный университет им. С. Аманжолова;

²Восточно-Казахстанский государственный технический университет им. Д. Серикбаева;

³Томский государственный архитектурно-строительный университет

Поступила 25.04.08г.